

ГОСУДАРСТВЕННЫЙ КОМИТЕТ СТАНДАРТОВ
СОВЕТА МИНИСТРОВ СССР

ВСЕСОЮЗНЫЙ НАУЧНО-ИССЛЕДОВАТЕЛЬСКИЙ ИНСТИТУТ
МЕТРОЛОГИЧЕСКОЙ СЛУЖБЫ

М Е Т О Д И К А
аттестации мер цилиндричности
МИ 145-77

МОСКВА
ИЗДАТЕЛЬСТВО СТАНДАРТОВ
1978

РАЗРАБОТАНА Всесоюзным научно-исследовательским институтом метрологической службы (ВНИИМС)

Руководитель темы В. С. Чихалов

Ответственный исполнитель С. С. Бабаев

ПОДГОТОВЛЕНА К УТВЕРЖДЕНИЮ Всесоюзным научно-исследовательским институтом метрологической службы (ВНИИМС)

Начальник сектора Г. А. Сафаров

Исполнитель Л. Б. Чернышева

УТВЕРЖДЕНА Научно-техническим советом ВНИИМС 12 декабря 1977 г. (протокол № 9)

**МЕТОДИКА
АТТЕСТАЦИИ МЕР ЦИЛИНДРИЧНОСТИ
МИ 145-77**

Настоящая методика распространяется на меры, представляющие собой цилиндрические поверхности, у которых нормированы параметры отклонений от цилиндричности и (или) ее составляющих — изогнутости, конусообразности и др., и (или) параметры отклонений формы профилей — некруглости и непрямолинейности, и устанавливает методы и средства их первичной и периодической аттестаций.

1. ОПЕРАЦИИ И СРЕДСТВА АТТЕСТАЦИИ

1.1. При проведении аттестации необходимо выполнять операции и применять средства поверки, указанные в таблице.

Наименование операций	Номера пунктов методики	Средства аттестации	Обязательность проведения операций при		
			выпуске из производства	ремонте	эксплуатации и хранении
Внешний осмотр	3.1		+	+	+
Преобразование реальной номинально цилиндрической поверхности и определение координат точек преобразованной поверхности	3.2				
в прямолинейной цилиндрической системе координат (непрямолинейность относительного перемещения в направлении оси вращения нормируется)	3.2.1	Талисента Талиронд 3	+	+	+

Продолжение

Наименование операций	Номера пунктов методики	Средства аттестации	Обязательность проведения операций при		
			выпуске из производства	ремонте	эксплуатации и хранении
в криволинейной цилиндрической системе координат (непрямолинейность относительного перемещения в направлении оси вращения не нормируется)	3.2.2	Талиронд З	+	+	+
Определение параметров отклонений от цилиндричности	3.3	Талинова	+	+	+
Определение параметров изогнутости поверхности	3.4.	»	+	+	+
Определение параметров конусности поверхности	3.5.	»	+	+	+
Определение параметров отклонений от круглости	3.6.	»	+	+	+
Определение параметров отклонений от прямолинейности	3.7.	»	+	+	+

П р и м е ч а н и е. Средства аттестации, указанные в таблице (пп. 3.2.1 и 3.2.2), приведены в качестве примеров для реализации схем 4 и 5.

1.2. Допускается применять методы и средства аттестации, не указанные в настоящей методике, и пользоваться специальными средствами, прошедшими метрологическую аттестацию в органах государственной метрологической службы и удовлетворяющими по точности требованиям аттестации мер.

2. УСЛОВИЯ АТТЕСТАЦИИ И ПОДГОТОВКА К НЕЙ

2.1. Перед аттестацией меры цилиндричности предварительно выдерживают в помещении, в котором проводят аттестацию, не менее 8 ч.

2.2. Аттестацию мер цилиндричности следует проводить в помещении при температуре воздуха $20 \pm 5^{\circ}\text{C}$ и относительной влажности не более 75 %.

2.3. Изменение температуры при измерении в течение 1 ч не должно превышать $0,2^{\circ}\text{C}$.

2.4. Амплитуда возможных вибраций при частоте 0,1—50 Гц не должна превышать 0,01—0,003 мм.

2.5. С цилиндрической меры должна быть удалена смазка бензином Б-70 по ГОСТ 1012—72, затем поверхности следует протереть чистым мягким полотенцем по ГОСТ 7259—77.

3. ПРОВЕДЕНИЕ АТТЕСТАЦИИ

3.1. Внешний осмотр.

При внешнем осмотре следует проверить соответствие мер цилиндричности требованию отсутствия на цилиндрической поверхности вмятин, царапин и других дефектов, ухудшающих свойства мер.

3.2. Преобразование реальной номинально цилиндрической поверхности и определение координат точек преобразованной поверхности.

3.2.1. В прямолинейной цилиндрической системе координат (непрямолинейность относительного перемещения в направлении оси вращения нормируется). Преобразование реальной номинально цилиндрической поверхности выполняют на приборе типа кругломер, имеющем аттестованные значения непрямолинейности относительного перемещения шпинделя (Рис. 1, 2) или шпиндельной коробки (Рис. 3, 4) вдоль оси вращения шпинделя и радиальной составляющей погрешности прибора при условии, что эти значения пренебрежимо малы по сравнению с нормируемым значением параметра нецилиндричности.

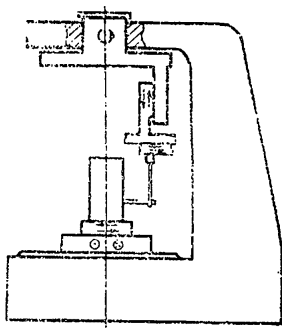


Рис. 1

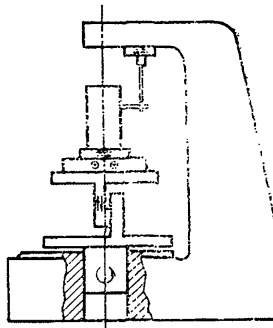


Рис. 2

Допускается применять приборы, у которых значения непрямолинейности перемещения узлов прибора и радиальной составляющей погрешности прибора могут быть соизмеримы с нормируемым значением параметра нецилиндричности при условии, что случайные составляющие этих погрешностей пренебрежимо малы

по сравнению с систематическими и имеется методика исключения систематических погрешностей из результатов измерения отклонений координат точек реальной цилиндрической поверхности.

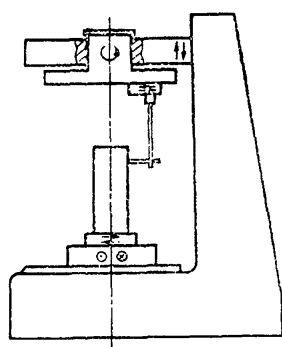


Рис. 3

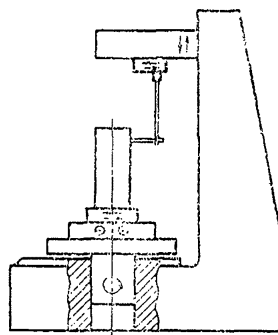


Рис. 4

Аттестуемый образец устанавливают на предметный стол прибора, и выполняют его центрирование и нивелирование путем устранения эксцентрикитетов в верхнем и нижнем (крайних) сечениях контролируемой поверхности.

Выполняют операцию преобразования профилей реальной номинально цилиндрической поверхности путем ее ощупывания измерительным преобразователем в ряде равноудаленных друг от друга радиальных сечений при соблюдении условия, что при переходе от сечения к сечению не проводят дополнительного центрирования контролируемого образца и радиального смещения измерительного преобразователя и (или) изменения постоянной составляющей сигнала.

Координаты точек преобразованной поверхности определяют путем измерения отклонений радиуса-вектора U_{j1} (где $j=1, 2, \dots, m$; $i = 1, 2, \dots, n$) в n равномерно расположенных осевых сечениях каждого из m радиальных сечений от постоянного уровня, соответствующего некоторым произвольно выбранным окружностям постоянного радиуса, центры которых лежат на оси вращения шпинделя.

3.2.2. В криволинейной цилиндрической системе координат (непрямолинейность относительного перемещения в направлении оси вращения не нормируется). Преобразование реальной номинально цилиндрической поверхности выполняют на одном приборе типа кругломер, у которого как шпиндель, так и шпиндельная коробка снабжены направляющими для поступательного их перемещения в направлении оси вращения, или на двух приборах типа кругломер, один из которых имеет вращающийся измери-

тельный преобразователь, а другой — вращающийся предметный стол.

Данным методом определяют те же координаты точек преобразованной поверхности, что и в системе координат, описанной в п. 3.2.1, при отсутствии каких-либо требований к прямолинейности перемещения узлов приборов в направлении оси вращения с точностью, определяемой в основном радиальной погрешностью прибора и погрешностью, возникающей в результате несовмещения сечений при повторных измерениях.

Аттестуемый образец устанавливают на предметный стол прибора и выполняют его центрирование и нивелирование аналогично изложенному в п. 3.2.1.

Выполняют операцию преобразования профилей реальной номинально цилиндрической поверхности путем ее ощупывания измерительным преобразователем в ряде равноудаленных друг от друга сечений, перемещая шпиндельную коробку вдоль оси вращения при соблюдении условия, что при переходе от сечения к сечению радиально не смешают измерительный преобразователь и (или) не изменяют постоянной составляющей сигнала (при этом допускается выполнять дополнительное центрирование контролируемого образца), если преобразование профилей выполняют на приборе, кинематическая схема которого представлена на рис. 5. Если преобразование профилей выполняют на приборе, кинематическая схема которого представлена на рис. 6, то не-

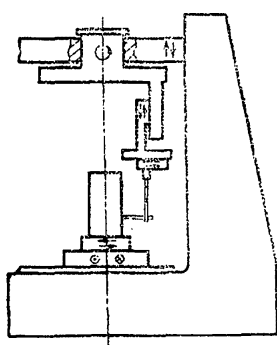


Рис. 5

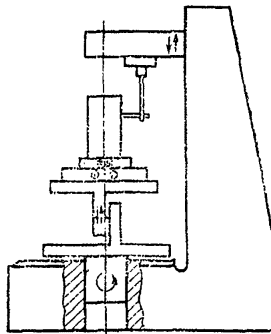


Рис. 6

обходится соблюдать условие, что при переходе от сечения к сечению не проводят дополнительного центрирования контролируемого образца (при этом допускается радиально смешать измерительный преобразователь и (или) изменять постоянную составляющую сигнала).

Затем измерительный преобразователь возвращают в первоначальное положение.

Выполняют повторное ощупывание профилей в тех же радиальных сечениях цилиндрической поверхности, перемещая шпиндель вдоль оси вращения, при соблюдении условия, что при переходе от сечения к сечению не проводят дополнительного центрирования контролируемого образца (при этом допускается радиально смещать измерительный преобразователь и (или) изменять постоянную составляющую сигнала), если преобразование профилей выполняют на приборе, кинематическая схема которого представлена на рис. 5. В случае, если преобразование профилей выполняют на приборе, кинематическая схема которого представлена на рис. 6, то необходимо соблюдать условие, что при переходе от сечения к сечению радиально не смещают измерительный преобразователь и (или) не изменяют постоянной составляющей сигнала (при этом допускается дополнительно центрировать контролируемый образец).

Отклонения радиусов-векторов U_{1ji} , U_{2ji} измеряют аналогично указанному в п. 3.2.1 в одних и тех же точках пересечения сечений j и i .

Измерение отклонений координат точек реальной цилиндрической поверхности на двух приборах типа кругломер полностью соответствует измерению на приборе, имеющем направляющие для перемещения шпиндельной коробки и шпинделя, при условии, что радиальные составляющие погрешностей этих приборов и погрешность, возникающая в результате несовмещения точек пересечения сечений j и i , пренебрежимо малы.

При этом измерение на приборе с вращающимся измерительным преобразователем и относительно перемещающимся вдоль оси вращения предметным столом (см. рис. 3) соответствует измерению при перемещении шпиндельной коробки на приборе, выполненном по кинематической схеме рис. 5, или измерению при перемещении шпинделя на приборе, выполненном по кинематической схеме рис. 6, а измерение на приборе с вращающимся предметным столом и относительно перемещающимся вдоль оси вращения измерительным преобразователем (см. рис. 4) соответствует измерению при перемещении шпинделя на приборе, выполненном по кинематической схеме рис. 5, или измерению при перемещении шпиндельной коробки на приборе, выполненном по кинематической схеме рис. 6.

3.3. Определение параметров отклонений от цилиндричности.

Для определения параметров отклонений от цилиндричности необходимо по измеренным значениям координат точек преобразованной поверхности определить параметры базовой цилиндрической поверхности.

В цилиндрической системе координат реальная цилиндрическая поверхность может быть представлена выражением

$$f(\varphi, \rho, z) = \rho(\varphi, z) - R - (\lambda_x + \beta_x z) \cos \varphi - (\lambda_y + \beta_y z) \sin \varphi, \quad (1)$$

где $\rho(\varphi, z)$ — текущее значение радиуса-вектора реальной цилиндрической поверхности в произвольно выбранной системе ко-

ординат; R — радиус базовой цилиндрической поверхности; λ_x , λ_y , β_x , β_y — параметры оси базовой цилиндрической поверхности. В соответствии с п. 3.2.1 выражение (1) примет вид

$$H_{ji} = \Delta \rho_{ji} - \Delta R - (\lambda_x + \beta_x z_j) \cos \varphi_i - (\lambda_y + \beta_y z_j) \sin \varphi_i, \quad (2)$$

где H_{ji} — отклонение радиуса-вектора в сечениях преобразованной поверхности от базовой цилиндрической поверхности; $\Delta \rho_{ji}$ — отклонение радиуса-вектора в сечениях преобразованной поверхности от цилиндрической поверхности произвольно выбранным радиусом R^* , ось которой совпадает с осью z ; ΔR — постоянная составляющая отклонения радиуса базовой цилиндрической поверхности от поверхности радиусом R^* ; z_j — координата сечения j ; φ_i — координата сечения i .

Для оценки параметров отклонений от цилиндрическости наиболее часто используют четыре вида базовой цилиндрической поверхности:

- 1) цилиндрическую поверхность, проведенную по методу наименьших квадратов;
- 2) прилегающую описанную цилиндрическую поверхность;
- 3) прилегающую вписанную цилиндрическую поверхность;
- 4) цилиндрическую поверхность наименьшей зоны (зональную поверхность).

Из этих поверхностей только для цилиндрической, проведенной по методу наименьших квадратов, выявлена математическая связь ее параметров R , λ_x , β_x , λ_y , β_y с координатами точек реальной поверхности. Параметры остальных трех поверхностей можно определить только итерационным путем.

На основе изложенного выше в данной методике приведены зависимости только для базовых поверхностей и линий, проведенных по методу наименьших квадратов.

Параметры базовой цилиндрической поверхности, проведенной по методу наименьших квадратов, определяют по координатам точек преобразованной по п. 3.2.1 реальной цилиндрической поверхности по формулам

$$\lambda_x = \frac{M_v \left(\sum_{j=1}^m j^2 \sum_{i=1}^n U_{ji} \cos \frac{2\pi i}{n} - \sum_{j=1}^m j \sum_{i=1}^n \sum_{t=1}^n j U_{ji} \cos \frac{2\pi t}{n} \right)}{\frac{n}{2} \left[m \sum_{j=1}^m j^2 - \left(\sum_{j=1}^m j \right)^2 \right]}, \quad (3)$$

$$\beta_x = \frac{M_v \left(m \sum_{j=1}^m \sum_{i=1}^n j U_{ji} \cos \frac{2\pi i}{n} - \sum_{j=1}^m j \sum_{i=1}^n \sum_{t=1}^n j U_{ji} \cos \frac{2\pi t}{n} \right)}{M_z \frac{n}{2} \left[m \sum_{j=1}^m j^2 - \left(\sum_{j=1}^m j \right)^2 \right]}, \quad (4)$$

$$\lambda_y = \frac{M_v \left(\sum_{j=1}^m j^2 \sum_{i=1}^n U_{ji} \sin \frac{2\pi i}{n} - \sum_{j=1}^m j \sum_{i=1}^n \sum_{t=1}^n j U_{ji} \sin \frac{2\pi t}{n} \right)}{\frac{n}{2} \left[m \sum_{j=1}^m j^2 - \left(\sum_{j=1}^m j \right)^2 \right]}, \quad (5)$$

$$\beta_y = \frac{M_v \left(m \sum_{j=1}^m \sum_{i=1}^n j U_{ji} \sin \frac{2\pi i}{n} - \sum_{i=1}^n j \sum_{j=1}^m \sum_{t=1}^n U_{jt} \sin \frac{2\pi i}{n} \right)}{M_z \frac{n}{2} \left[m \sum_{j=1}^m j^2 - \left(\sum_{j=1}^m j \right)^2 \right]}, \quad (6)$$

$$\Delta R = \frac{M_v}{mn} \sum_{j=1}^m \sum_{t=1}^n U_{jt}, \quad (7)$$

где M_v — масштабный множитель полярного вектора (цена деления при измерении U_{jt}); M_z — расстояние между сечениями j ; $\Delta \rho_{jt} = U_{jt} M_v$; $z_j = j M_z$, $\Phi_t = \frac{2\pi t}{n}$.

Отклонения H_{jt} радиусов-векторов в сечениях j, t преобразованной поверхности от базовой цилиндрической поверхности, проведенной по методу наименьших квадратов, определяют с учетом выражений для $\Delta \rho_{jt}$, z_j , Φ_t , λ_x , β_x , λ_y , β_y , ΔR по формуле

$$H_{jt} = M_v \left\{ U_{jt} - \frac{1}{mn} \sum_{j=1}^m \sum_{t=1}^n U_{jt} - \frac{2[(\Lambda \times F - \Lambda \times T) C_i + (\Pi \times F - \Pi \times T) S_i]}{n \Phi} \right\}, \quad (8)$$

где

$$\begin{aligned} \Lambda &= \sum_{j=1}^m \sum_{t=1}^n U_{jt} C_i; & \Pi &= \sum_{j=1}^m \sum_{t=1}^n U_{jt} S_i; & \Lambda &= \sum_{j=1}^m \sum_{t=1}^n j U_{jt} C_i; \\ \Lambda &= \sum_{j=1}^m \sum_{t=1}^n j U_{jt} S_i; & C_i &= \cos \frac{2\pi i}{n}; & S_i &= \sin \frac{2\pi i}{n}; \\ F &= I - j \Gamma; & T &= \Gamma - j m; & I &= \sum_{j=1}^m j^2; & \Phi &= mI - \Gamma^2; \\ \Gamma &= \sum_{j=1}^m j. \end{aligned}$$

По значениям радиусов-векторов H_{jt} определяют параметры, характеризующие отклонения от цилиндричности.

1. Наибольшее отклонение от цилиндричности

$$H\varphi_{\max} = |H_{\max}| + |H_{\min}|. \quad (9)$$

2. Среднее арифметическое значение из взятых по модулю отклонений от цилиндричности

$$H\varphi_a = \frac{1}{mn} \sum_{j=1}^m \sum_{t=1}^n |H_{jt}|. \quad (10)$$

3. Среднее квадратическое значение отклонения от цилиндричности

$$H\varphi_q = \sqrt{\frac{1}{mn} \sum_{j=1}^m \sum_{t=1}^n H_{jt}^2}. \quad (11)$$

В качестве примера в приложении 1 приведена программа на языке АЛМИР-65 для ЭВМ МИР 1.

Для определения параметров отклонений от цилиндричности при преобразовании реальной цилиндрической поверхности по п. 3.2.2 выражение (1) примет вид

$$H_{ji} = \Delta\rho_{1ji} - \Delta R_1 - a_{1j} \cos\varphi_i - b_{1j} \sin\varphi_i + (a_{2j} - \lambda_{x_1} - \beta_{x_1} z_j) \cos\varphi_i + (b_{2j} - \lambda_{y_1} - \beta_{y_1} z_j) \sin\varphi_i, \quad (12)$$

где $\Delta\rho_{1ji}$ — отклонения радиуса-вектора в сечениях j, i преобразованной поверхности от цилиндрической поверхности произвольно выбранным радиусом R^* , ось которой совпадает с осью z , при искаженной информации о положении и форме оси реальной поверхности; $\Delta\rho_{2ji}$ — отклонение радиуса-вектора в сечениях j, i преобразованной поверхности от цилиндрической поверхности радиусом R^* , ось которой совпадает с осью z , при искаженной информации об измерении постоянной составляющей реальной поверхности в каждом из сечений j ; ΔR_1 — постоянная составляющая отклонения радиуса базовой цилиндрической поверхности, определенная по $\Delta\rho_{1ji}$, от поверхности радиусом R^* ; $a_{1j}, b_{1j}, a_{2j}, b_{2j}$ — проекции смещения центров базовых окружностей, определенные по $\Delta\rho_{1ji}$ и $\Delta\rho_{2ji}$ от оси z , $\lambda_{x_1}, \beta_{x_1}, \lambda_{y_1}, \beta_{y_1}$ — параметры оси базовой цилиндрической поверхности, определенные по $\Delta\rho_{2ji}$.

Для базовой цилиндрической поверхности, проведенной по методу наименьших квадратов, значения $\Delta R_1, \lambda_{x_1}, \beta_{x_1}, \lambda_{y_1}, \beta_{y_1}$ определяют по формулам (7), (3), (4), (5), (6), подставляя вместо U_{ji} соответственно U_{1ji} или U_{2ji} .

Параметры a_{1j}, b_{1j} и a_{2j}, b_{2j} определяют по формулам

$$a_{1(2)j} = \frac{2M_v}{n} \sum_{l=1}^n U_{1(2)jl} \cos \frac{2\pi l}{n}; \quad (13)$$

$$b_{1(2)j} = \frac{2M_v}{n} \sum_{l=1}^n U_{1(2)jl} \sin \frac{2\pi l}{n}. \quad (14)$$

Отклонения H_{ji} радиусов-векторов в сечениях j, i преобразованной поверхности от базовой цилиндрической поверхности, проведенной по методу наименьших квадратов, определяют с учетом выражений для $\Delta R_1, \lambda_{x_1}, \beta_{x_1}, \lambda_{y_1}, \beta_{y_1}, a_{1j}, b_{1j}, a_{2j}, b_{2j}, z_j, \varphi_i, \Delta\rho_{1ji}, \Delta\rho_{2ji}$ по формуле

$$H_{ji} = M_v \{ U_{1ji} - \frac{1}{mn} \sum_{j=1}^m \sum_{l=1}^n U_{1jl} - \frac{2C_l}{n} \left(\sum_{l=1}^n U_{1jl} C_l - \sum_{i=1}^n U_{2ji} C_l \right) - \frac{2S_l}{n} \left(\sum_{i=1}^n U_{1ji} S_i - \sum_{i=1}^n U_{2ji} S_i \right) - \frac{2[(\Delta_2 \times F - J_2 \times T) C_l + (\Pi_2 \times F - \Lambda_2 \times T) S_i]}{n \Phi} \}, \quad (15)$$

$$\text{где } \Delta_2 = \sum_{j=1}^m \sum_{l=1}^n U_{2jl} C_l; \quad \Pi_2 = \sum_{j=1}^m \sum_{l=1}^n U_{2ji} S_l;$$

$$\Lambda_2 = \sum_{j=1}^m \sum_{l=1}^n j U_{2jl} C_l; \quad \varUpsilon_2 = \sum_{j=1}^m \sum_{l=1}^n j U_{2ji} S_l.$$

Программа определения параметров отклонений от цилиндричности при преобразовании реальной цилиндрической поверхности по п. 3.2.2 приведена в приложении 2.

В случае, если изогнутость цилиндрической поверхности пренебрежимо мала по сравнению с нецилиндричностью реальной поверхности, значения отклонений от цилиндричности для преобразования в соответствии с п. 3.2.1 могут быть определены по формуле

$$H_{jl} = M_v (U_{jl} - \frac{1}{mn} \sum_{j=1}^m \sum_{l=1}^n U_{ji} - \frac{2C_i}{n} \sum_{l=1}^n U_{jl} C_l - \frac{2S_i}{n} \sum_{l=1}^n U_{jl} S_l). \quad (16)$$

3.4. Определение параметров изогнутости поверхности.

Под изогнутостью поверхности в данной методике понимается отклонение геометрического места центров базовых окружностей от оси базовой цилиндрической поверхности.

Для определения параметров изогнутости реальной цилиндрической поверхности по значениям координат точек U_{1ji} преобразованной по п. 3.2.1 поверхности или по координатам точек U_{2ji} преобразованной по п. 3.2.2 поверхности вычисляют координаты центров средних окружностей по формулам (13) и (14).

Определяют координаты прямых линий, построенных по методу наименьших квадратов в плоскостях zx и zy ,

$$x_j = \lambda_x + \beta_x j M_z; \quad (17)$$

$$y_j = \lambda_y + \beta_y j M_z, \quad (18)$$

где коэффициенты λ_x , β_x , λ_y , β_y находят по формулам (3), (6).

Программа определения параметров и координат оси реальной цилиндрической поверхности приведена в приложении 3.

По значениям координат x_j и y_j определяют значения отклонений ΔC_j и фазовый угол γ_j геометрического места центров средних окружностей от оси базовой цилиндрической поверхности, проведенной по методу наименьших квадратов:

$$\Delta C_j = \sqrt{(a_j - x_j)^2 + (b_j - y_j)^2}; \quad (19)$$

$$\gamma_j = \frac{180}{\pi} \operatorname{arctg} \left(\frac{b_j - y_j}{a_j - x_j} \right). \quad (20)$$

Графически изогнутость может быть представлена в виде совокупности радиусов-векторов ΔC_j , исходящих из одного центра.

(рис. 7). Для ее оценки используют два вида характеристик: предельные и усредненные.

В качестве предельных характеристик рекомендуется использовать один из трех параметров:

ξ_1 — удвоенное значение максимального отклонения ΔC_{\max_1} ;

ξ_2 — наименьший диаметр охватывающей окружности;

ξ_3 — сумму наибольшего радиуса-вектора, взятого по модулю ΔC_{\max_1} , имеющего фазовый угол $0 \leq \gamma_{\max_1} < 360^\circ$, и наибольшего радиуса-вектора, взятого по модулю ΔC_{\max_2} , с фазовым углом $\gamma_{\max_1} + 90^\circ \leq \gamma_{\max_2} < \gamma_{\max_1} + 270^\circ$.

Параметр ξ_1 дает наибольшее значение изогнутости (диаметр окружности 1 на рис. 7), и ось охватывающего цилиндра совпадает с осью базового цилиндра, проведенного по методу наименьших квадратов.

Параметр ξ_2 дает меньшее, чем параметр ξ_1 , значение изогнутости (диаметр окружности 2 на рис. 7) и в общем случае приводит к смещению центра охватывающей окружности в произвольном направлении относительно оси базового цилиндра, проведенного по методу наименьших квадратов. Определение значения параметра ξ_2 более трудоемко, чем значений параметров ξ_1 и ξ_3 .

Значение параметра ξ_3 в общем случае находится между значениями параметров ξ_1 и ξ_2 , т. е. $\xi_2 < \xi_3 < \xi_1$.

В частном случае для изогнутости в плоскости $\xi_3 \leq \xi_2 \leq \xi_1$ параметры ξ_1 , ξ_2 , ξ_3 определяются по формулам

$$\xi_1 = 2\Delta C_{\max_1}; \quad (21)$$

$$\xi_2 = f(\Delta C_j, \gamma_j); \quad (22)$$

$$\xi_3 = \Delta C_{\max_1} + \Delta C_{\max_2}. \quad (23)$$

В качестве усредненных характеристик изогнутости могут быть использованы два параметра: среднее арифметическое значение изогнутости и среднее квадратическое значение изогнутости:

$$\xi_a = \frac{1}{m} \sum_{j=1}^m \Delta C_j; \quad (24)$$

$$\xi_g = \sqrt{\frac{\sum_{j=1}^m \Delta C_j^2}{m}}. \quad (25)$$

Программа определения параметров изогнутости приведена в приложении 4.

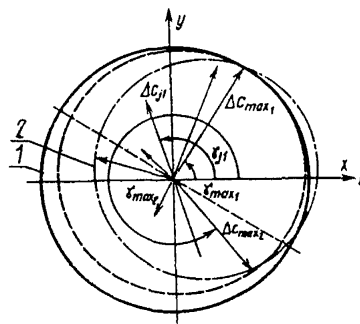


Рис. 7

3.5. Определение параметров конусности поверхности

В качестве параметров конусности выбраны: угол наклона образующей конической поверхности, проведенной по методу наименьших квадратов, к оси базовой цилиндрической поверхности, также проведенной по методу наименьших квадратов, и разность радиусов в сечениях, расположенных на заданной длине

В случае, если линия пересечения цилиндрической и конической поверхностей, проведенных по методу наименьших квадратов, проходит через сечение $(m+1)/2$, значение указанного выше угла определяют по формуле

$$\alpha = \operatorname{arctg} \frac{\sum_{j=1}^m \sum_{i=1}^n H_{ji} \left(j - \frac{m+1}{2}\right)}{M_z n \sum_{j=1}^m \left(j - \frac{m+1}{2}\right)^2};$$

$$\alpha^* = \frac{\alpha \cdot 648000}{\pi}.$$
(26)

Значение разности радиусов (PR) в крайних сечениях (на длине L) определяют по формуле

$$PR = M_z(m-1)\operatorname{tg} \alpha^*,$$
(27)

где $L = M_z(m-1)$.

Программа определения параметров конусности приведена в приложении 5.

3.6. Определение параметров отклонений от круглости.

Для определения параметров отклонений от круглости по значениям координат точек U_{ji} преобразованной по п. 3.2.1 поверхности или координатам точек U_{ij} либо U_{ji} преобразованной по п. 3.2.2 поверхности вычисляют отклонения радиуса-вектора Q_{ji} преобразованного профиля от базовой окружности в каждом из m сечений.

Если в качестве базовой окружности используют окружность, проведенную по методу наименьших квадратов, то

$$Q_{ji} = M_v U_{ji} - \Delta R_j - a_j \cos \frac{2\pi i}{n} - b_j \sin \frac{2\pi i}{n}.$$
(28)

Значения параметров базовых окружностей ΔR_j , a_j , b_j определяют по формулам (7), (13), (14).

По значениям радиусов-векторов определяют параметры отклонений от круглости в каждом из m сечений.

Наибольшее значение некруглости

$$HK_{\max j} = |Q_{\max j}| + |Q_{\min j}|.$$
(29)

Среднее арифметическое значение из взятых по модулю отклонений от круглости

$$HK_{a_j} = \frac{1}{n} \sum_{i=1}^n |Q_{ji}|.$$
(30)

Среднее квадратическое отклонение от круглости

$$HK_{q_i} = \sqrt{\frac{1}{n} \sum_{i=1}^n Q_{ji}^2}. \quad (31)$$

По значениям параметров, полученных по формулам (29) — (31), определяют их наибольшие и средние значения; HK_{\max} , \overline{HK}_{\max} , $HK_{a_{\max}}$, \overline{HK}_a , $HK_{q_{\max}}$, \overline{HK}_q .

Программа определения параметров отклонений от круглости приведена в приложении 6.

3.7. Определение параметров отклонений от прямолинейности.

Значения параметров отклонений от прямолинейности можно определить по координатам точек U_{ji} , преобразованной по п. 3.2.1 поверхности или по отклонению радиуса-вектора H_{ji} от базовой цилиндрической поверхности.

Отклонение радиуса-вектора P_{ji} преобразованного профиля от базовой прямой линии, проведенной по методу наименьших квадратов, в каждом из n сечений, определяют по формуле

$$P_{ji} = M_i \left[U_{ji} - \frac{\sum_{j=1}^m U_{ji} \sum_{j=1}^m j^2 - \sum_{j=1}^m j U_{ji} \sum_{j=1}^m j + jm \sum_{j=1}^m j U_{ji} - j \sum_{j=1}^m j \sum_{j=1}^m U_{ji}}{m \sum_{j=1}^m j^2 - (\sum_{j=1}^m j)^2} \right]. \quad (32)$$

По значениям радиусов-векторов P_{ji} определяют параметры отклонений от прямолинейности в каждом из n сечений.

Наибольшее значение непрямолинейности

$$HP_{\max_i} = |P_{\max_i}| + |P_{\min_i}|. \quad (33)$$

Среднее арифметическое значение из взятых по модулю отклонений от прямолинейности

$$HP_{a_i} = \frac{1}{m} \sum_{j=1}^m |P_{ji}|. \quad (34)$$

Среднее квадратическое значение отклонений от прямолинейности

$$HP_{q_i} = \sqrt{\frac{1}{m} \sum_{j=1}^m P_{ji}^2}. \quad (35)$$

По значениям параметров, полученных по формулам (33) — (35), определяют их наибольшие и наименьшие значения:

$$HP_{\max}, \overline{HP}_{\max}, HP_{a_{\max}}, \overline{HP}_a, HP_{q_{\max}}, \overline{HP}_q.$$

Программа определения параметров отклонений от прямолинейности приведена в приложении 7.

4. ПОГРЕШНОСТЬ АТТЕСТАЦИИ МЕР ЦИЛИНДРИЧНОСТИ

Погрешность аттестации меры цилиндричности $\Delta H\bar{C}$ при применении метода преобразования реальной номинально цилиндрической поверхности, изложенного в п. 3.2.1, определяют по формуле, учитывающей некоррелированность и центрированность составляющих:

$$-K \sqrt{\sum_{f=1}^{10} \sigma_f^2} < \Delta H\bar{C} < +K \sqrt{\sum_{f=1}^{10} \sigma_f^2}, \quad (36)$$

где K — коэффициент, учитывающий, что с заданной вероятностью P_d погрешность $\Delta H\bar{C}$ находится внутри указанного интервала, и выбираемый согласно приложению 2 ГОСТ 8.009—71; σ_f — среднее квадратическое отклонение составляющей от влияния f -го фактора на погрешность измерения параметров отклонений от цилиндричности;

$f=1$ — погрешность коэффициента увеличения

$$\Delta_y = \frac{K_d - K_n}{K_n},$$

здесь K_d , K_n — действительное и номинальное значения коэффициента увеличения соответственно;

$$\sigma_1 = H\bar{C}_{\max} \cdot \Delta_y / \gamma_1;$$

$f=2$ — отклонение радиуса кривизны щупа Δ_r ;

$$\sigma_2 = \Delta_r (\sec \alpha_1 - 1) / \gamma_2,$$

где $\alpha_1 = \operatorname{arctg} \frac{4Aq}{2\pi R}$ — угол наклона боковой грани неровности высокочастотной гармонической составляющей к базовой окружности; A — значение амплитуды гармонической составляющей; q — номер высокочастотной гармоники; R — радиус детали;
 $f=3$ — максимальное отклонение частотной характеристики от номинального значения $\Delta_{\text{ч.х.}}$;

$$\sigma_3 = \Delta_{\text{ч.х.}} H\bar{C}_{\max} / \gamma_3$$

$f=4$ — число осевых сечений n ;

$$\sigma_4 = K_n H\bar{C}_{\max} / \gamma_4,$$

здесь $H\bar{C}_{\max}$ — максимальное значение некруглости сечения меры; K_n — коэффициент, принимающий значения от 0 до 1 и определяемый или экспериментально, или по теореме Котельникова;

$f=5$ — число радиальных сечений,

$$\sigma_5 = P \cdot H\bar{P}_{\max} / \gamma_5,$$

здесь $H\bar{P}_{\max}$ — максимальное значение непрямолинейности обраzuющей меры; P — коэффициент, принимающий значение от 0 до 1 и определяемый или экспериментально, или по теореме Котельникова;

$f=6$ — непараллельность траектории перемещения щупа оси вращения шпинделя Δ_{n_1} ;

$$\sigma_6 = \Delta_{n_1} / \gamma_6;$$

$f=7$ — погрешность вращения шпинделя радиальная $\Delta_{\text{шр}}$;

$$\sigma_7 = \Delta_{\text{шр}} / \gamma_7;$$

$f=8$ — непрямолинейность траектории перемещения щупа Δ_{n_2} ;

$$\sigma_8 = \Delta_{n_2} / \gamma_8;$$

$f=9$ — дрейф исходного нулевого уровня Δ_d ;

$$\sigma_9 = \Delta_d / \gamma_9;$$

$f=10$ — погрешность вращения шпинделя осевая $\Delta_{\text{шо}}$;

$$\sigma_{10} = \Delta_{\text{шо}} \operatorname{tg} \alpha_2 / \gamma_{10},$$

здесь $\alpha_2 = \operatorname{arctg} \frac{4Aq}{l}$ — угол наклона боковой грани неровности высокочастотной гармонической составляющей к базовой прямой линии; l — длина, на которой определяют параметр нецилиндричности.

Погрешность аттестации меры цилиндричности при применении метода преобразования реальной номинально цилиндрической поверхности, изложенного в п. 3.2.2, определяют также по формуле (36), но с заменой факторов f_6-f_8 :

$f=6$ — несовпадение осевых сечений при повторных измерениях Δ_{co} ;

$$\sigma_6 = \sqrt{n} \cdot \Delta_{\text{co}} \cdot \operatorname{tg} \alpha_1 / \gamma_6;$$

$f=7$ — погрешность вращения шпинделя $\Delta_{\text{шр}}$;

$$\sigma_7 = \sqrt{2} \Delta_{\text{шр}} / \gamma_7,$$

$f=8$ — несовпадение радиальных сечений при повторных измерениях;

$$\sigma_8 = \sqrt{m} \Delta_{\text{cp}} \operatorname{tg} \alpha_2 \gamma_8;$$

γ_f (где $f = 1, 2, \dots$) — коэффициент, учитывающий закон распределения соответствующей погрешности.

5. ОФОРМЛЕНИЕ РЕЗУЛЬТАТОВ АТТЕСТАЦИИ

5.1. На меры цилиндричности, прошедшие аттестацию с положительными результатами, выдают свидетельство о государственной или ведомственной аттестации по форме, установленной Госстандартом СССР.

5.2. Результаты аттестации мер цилиндричности при выпуске из производства завод-изготовитель заносит в паспорт.

**ПРОГРАММА ОПРЕДЕЛЕНИЯ ПАРАМЕТРОВ ОТКЛОНЕНИЙ ОТ
ЦИЛИНДРИЧНОСТИ ПРИ ПРЕОБРАЗОВАНИИ РЕАЛЬНОЙ
ЦИЛИНДРИЧЕСКОЙ ПОВЕРХНОСТИ ПО п 3.2.1**

```

""5.1.PP=ARCSIN(1)×2; L=2×PP/N; Г=Σ(J=1, M, J); И= Σ(J=1, M,
J×J); Φ=M×И-Г×Г; "ДЛ" I=1 "Ш"1"ДО"Н"ВЫП"(C[1]=COS(1×L);
H[I]=SIN(I×L)); Δ=0; Л=0; Π=0; Я=0; "ДЛ"J=1"Ш"1"ДО"М"ВЫП"
(A= Σ(I=1, N, U[J, I]×C[I])/N×2; B= Σ(I=1, N, U[J, I]×H[I])/N×2; Δ=Δ+
+A; Л=Л+А×J; Π=Π+B; Я=Я+B×J); R= Σ(J=1, M, Σ(I=1, N, U
[J, I]))/(N×M); Б=0; ЪI=0; Ц=0; Ю=0; Щ=0; Ж=0; "ДЛ"J=1"Ш"1"ДО"М"
ВЫП"(F=И-J×Г; Т=Г-J×M; "ДЛ" I=1"Ш"1"ДО"Н"ВЫП"(U[J, I]=
(U[J, I] - ((Д×F - Л×Т)×C[I]+(Π×F - Я×Т)×H[I]/Φ - R)×MV; "Е"
U[J, I]>Б"ТО"(Б=U[J, I]; ы=J; Ц=I; "НА"Q); "Е" U[J, I]<Ю"ТО"(Ю=U
[J, I]; Ш=J; Ж=I; Q)); V=Б-Ю; CA= Σ(J=1, M, Σ(I=1, N, ABS(U
[J, I])))/(N×M); CK=V (Σ(J=1, M, Σ(I=1, N, U[J, I]²))/(N×M)); "ВЫВ""ЗН"
[НЕЦИЛИНДРИЧНОСТЬ], "ПР"2, [СЦ.МАХ=], V, "ПР"2, [СА=], CA, "ПР"2,
[СК=], CK, "СТР", "ПР"18, [DR=], R×MV, "ПР"2, [MAX=], B, "ПР"2, [J=],
Ы, "ПР", [I=], Ц, "СТР", "ПР"30, [MIN=], Ю, "ПР"2, [J=], Ш, "ПР", [I=],
Ж; "ВЫВ""МАСС"U"ГДЕ"MV=10; M=7; N=12; U[7, 12]=12.8, 12.5, 10.4, 8.6,
9, 11, 11, 8.1, 7.2, 8.7, 11, 11.7, 14, 12.4, 9.4, 7.1, 7, 8.2, 8.1, 7.4, 7.7, 10.1, 12.2,
13.8, 13.9, 11.3, 8.6, 6.2, 6, 7, 7.2, 7, 8, 10, 12.8, 14.3, 13.8, 11.3, 8.9, 6.9, 6.2, 6.2, 6.3,
6.8, 8, 10.1, 13, 14.2, 13.8, 11, 8.1, 6.3, 5.2, 4.8, 4.7, 5.5, 7.1, 10, 12.9, 14.4, 12.1,
10, 8, 7, 6.7, 6.1, 6, 6.2, 7.1, 9.8, 11.8, 13, 11.9, 10, 8, 7, 6.3, 5.2, 5, 5, 6.6, 9.8,
11.9, 13; C[12]; H[12]"КО"
НЕЦИЛИНДРИЧНОСТЬ СЦ.МАХ=.06471103 CA=1.02538101 CK=.12762102
DR=.9175102 MAX=.04287103 J=1 I=7 MIN=-.21834102 J=7 I=1
U[7, 12]

```

.01163 ₁₀ 3	.01485 ₁₀ 3	.005 ₁₀ 3	.096
.01562 ₁₀ 3	.0425 ₁₀ 3	.04287 ₁₀ 3	.7659 ₁₀ 1
-1.2493 ₁₀ 2	-.10591 ₁₀ 2	.00088 ₁₀ 3	.1 ₁₀ 1
.02102 ₁₀ 3	.01267 ₁₀ 3	— 4445 ₁₀ 1	—.12761 ₁₀ 2
—.121 ₁₀ 1	.01783 ₁₀ 3	.01648 ₁₀ 3	.1846 ₁₀ 1
—.0805 ₁₀ 2	.00127 ₁₀ 3	.00972 ₁₀ 3	.01867 ₁₀ 3
.01742 ₁₀ 3	.049 ₁₀ 1	—.11887 ₁₀ 2	—.19608 ₁₀ 2
—.08041 ₁₀ 2	.00916 ₁₀ 3	.01009 ₁₀ 3	—.0975 ₁₀ 1
—.05607 ₁₀ 2	—.188 ₁₀ 1	.01256 ₁₀ 3	.02034 ₁₀ 3
.0138 ₁₀ 3	—.69	—.08329 ₁₀ 2	—.10461 ₁₀ 2
—.02885 ₁₀ 2	.4493 ₁₀ 1	.3694 ₁₀ 1	—.01793 ₁₀ 2
—.06164 ₁₀ 2	—.303 ₁₀ 1	.0114 ₁₀ 3	.01601 ₁₀ 3
.01121 ₁₀ 3	—.487 ₁₀ 1	—.15772 ₁₀ 2	—.14312 ₁₀ 2
—.09725 ₁₀ 2	—.06174 ₁₀ 2	—.09699 ₁₀ 2	—.13608 ₁₀ 2
—.15721 ₁₀ 2	—.617 ₁₀ 1	.724 ₁₀ 1	.01468 ₁₀ 3

-.841 ₁₀ 1	-.1606 ₁₀ 2	-.16215 ₁₀ 2	-.05164 ₁₀ 2
.00844 ₁₀ 3	.01016 ₁₀ 3	.5918 ₁₀ 1	-.05419 ₁₀ 2
-.16278 ₁₀ 2	-.10326 ₁₀ 2	-.0693 ₁₀ 2	-.266 ₁₀ 1
-.1301 ₁₀ 2	-.1725 ₁₀ 2	-.15657 ₁₀ 2	-.03016 ₁₀ 2
.7612 ₁₀ 1	.4489 ₁₀ 1	-.1485 ₁₀ 1	-.1624 ₁₀ 2
-.21834 ₁₀ 2	-.12474 ₁₀ 2	-.091 ₁₀ 2	-.598 ₁₀ 1

ПРИЛОЖЕНИЕ 2

ПРОГРАММА ОПРЕДЕЛЕНИЯ ПАРАМЕТРОВ ОТКЛОНЕНИЙ ОТ ЦИЛИНДРИЧНОСТИ ПРИ ПРЕОБРАЗОВАНИИ РЕАЛЬНОЙ ЦИЛИНДРИЧЕСКОЙ ПОВЕРХНОСТИ ПО п. 3.2.2

""5.1.PP=ARCSIN(1)×2; L=2×PP/N; Г=Σ(J=1, M, J); И=Σ(J=1, M, J×X); Φ=M×И-Г×Г; "ДЛ" I=1"Ш"1"ДО"N"ВЫП"(C[I]=COS(I×L); H[I]=SIN(I×L)); Δ=Σ(J=1, M, Σ(I=1, N, U2[J, I]×C[I])); Λ=Σ(J=1, M, Σ(I=1, N, J×U2[J, I]×C[I])); Π=Σ(J=1, M, Σ(I=1, N, U2[J, I]×XH[I])); Я=Σ(J=1, M, Σ(I=1, N, J×U2[J, I]×H[I])); R=Σ(Y=1, MΣ(I=1, N, U1[J, I]))/(N×M); Б=0; Ы=0; Ц=0; Ю=0; Ш=0; Ж=0; "ДЛ" J=1"Ш"1"ДО"М"ВЫП"(F=I-J×Г; T=Г-J×M; A1=Σ(I=1, N, U1[J, I]×C[I]); A2=Σ(I=1, N, U2[J, I]×C[I]); B1=Σ(I=1, N, U1[J, I]×H[I]; B2=Σ(I=1, N, U2[J, I]×H[I]); "ДЛ" I=1"Ш"1"ДО"O"N"ВЫП"(U1[J, I]=(U1[J, I]-R-2×C[I]×(A1-A2+(D×F-L×T)/Φ))/N-2×H[I]×(B1-B2+(Π×F-Y×T)/Φ)/N)×MV; "E"U1[J, I]>Б"ТО"(Б=U1[J, I]; Ы=J; Ц=I; "НА"Q); "E"U1[J, I]<Ю"ТО"(Ю=U1[J, I]; Ш=J; Ж=I; Q.); V=Б-Ю; CA=Σ(J=1, M, Σ(I=1, N, ABS(U1[J, I]))/(N×M); CK=V(Σ(J=1, M, Σ(I=1, N, U1[J, I]↑2))/(N×M)); "ВЫВ""3Н"
[НЕЦИЛИНДРИЧНОСТЬ], "ПР"2, [СЦ.МАХ=], V, "ПР"2, [CA=], CA×MV,
"ПР"2, [CK=], CK, "СТР", "ПР"18, [DR=], R×MV, "ПР"2, [МАХ=], Б, "ПР"2,
[J=], Б, "ПР", [I=], Ц, "СТР", "ПР"30, [MIN=], ИО, "ПР"2, [J=], Ш, "ПР",
[I=], Ж; "ВЫВ""МАСС"U1"ГДЕ"MV=10; M=7; N=12; U1[7, 12]=12.8, 12.5,
10.4, 8.6, 9, 11, 11, 8.1, 7.2, 8.7, 11, 11.7, 14, 12.4, 9.4, 7.1, 7, 8.2, 8.1, 7.4, 7.7, 10.1, 12.2,
13.8, 13.9, 11.3, 8.6, 6.2, 6, 7, 7.2, 7, 8, 10, 12.8, 14.3, 13.8, 11.3, 8.9, 6.9, 6.2, 6.2, 6.3, 6.8,
8, 10.1, 13, 14.2, 13.8, 11, 8.1, 6.3, 5.2, 4.8, 4.7, 5.5, 7.1, 10, 12.9, 14.4, 12.1,
10, 8, 7, 6.7, 6.1, 6, 6.2, 7.1, 9.8, 11.8, 13, 11.9, 10, 8, 7, 6.3, 5.2, 5, 5, 6.6, 9.8,
11.9, 13; U2[7, 12]=12.8, 12.5, 10.4, 8.6, 9, 11, 11, 8.1, 7.2, 8.7, 11, 11.7,
14, 12.4, 9.4, 7.1, 7, 8.2, 8.1, 7.4, 7.7, 10.1, 12.2, 13.8, 13.9, 11.3, 8.6, 6.2, 6, 7, 7.2,
7, 8, 10, 12.8, 14.3, 13.8, 11.3, 8.9, 6.9, 6.2, 6.2, 6.3, 6.8, 8, 10.1, 13, 14.2, 13.8,
11, 8.1, 6.3, 5.2, 4.8, 4.7, 5.5, 7.1, 10, 12.9, 14.4, 12.1, 10, 8, 7, 6.7, 6.1, 6, 6.2,
7.1, 9.8, 11.8, 13, 11.9, 10, 8, 7, 6.3, 5.2, 5, 5, 6.6, 9.8, 11.9, 13; C[12]; H[12]"КО"

НЕЦИЛИНДРИЧНОСТЬ СЦ. MAX = .06472₁₀3 CA = .10252₁₀3 CK = 12762₁₀2

DR = .9175₁₀2 MAX = .04288₁₀3 J = 1 I = 7

MIN = -.21836₁₀2 J = 7 I = 9 U[7, 12]

.01163 ₁₀ 3	.01484 ₁₀ 3	.005 ₁₀ 3	.0095 ₁₀ 1
.15631 ₁₀ 2	.04251 ₁₀ 3	.04288 ₁₀ 3	.7665 ₁₀ 1
-.12491 ₁₀ 2	-.10591 ₁₀ 2	.08764 ₁₀ 1	.09928 ₁₀ 1
.02102 ₁₀ 3	.01267 ₁₀ 3	-.44474 ₁₀ 1	-.12755 ₁₀ 2
-.12035 ₁₀ 1	.17842 ₁₀ 2	.16492 ₁₀ 2	.1848 ₁₀ 1
-.08048 ₁₀ 2	.12611 ₁₀ 1	.00971 ₁₀ 3	.01866 ₁₀ 3
.01741 ₁₀ 3	.00048 ₁₀ 3	-.11889 ₁₀ 2	-.19605 ₁₀ 2
-.08037 ₁₀ 2	.09175 ₁₀ 2	.101 ₁₀ 2	-.00968 ₁₀ 2
-.05606 ₁₀ 2	-.18886 ₁₀ 1	.01254 ₁₀ 3	.02033 ₁₀ 3
.01382 ₁₀ 3	-.69683	-.08329 ₁₀ 2	-.10461 ₁₀ 2
-.28827 ₁₀ 1	.44956 ₁₀ 1	.36972 ₁₀ 1	.01792 ₁₀ 2
-.06164 ₁₀ 2	-.30318 ₁₀ 1	.01139 ₁₀ 3	.01601 ₁₀ 3
-.01121 ₁₀ 3	-.48806 ₁₀ 1	-.15772 ₁₀ 2	-.14314 ₁₀ 2
-.09722 ₁₀ 2	-.06175 ₁₀ 2	-.09701 ₁₀ 2	-.1361 ₁₀ 2
-.15721 ₁₀ 2	-.06178 ₁₀ 2	.72307 ₁₀ 1	.01468 ₁₀ 3
-.84043 ₁₀ 1	-.16063 ₁₀ 2	-.16213 ₁₀ 2	-.51635 ₁₀ 1
.08444 ₁₀ 2	.10158 ₁₀ 2	.59073 ₁₀ 1	-.05427 ₁₀ 2
-.16279 ₁₀ 2	-.10328 ₁₀ 2	-.06935 ₁₀ 2	-.26566 ₁₀ 1
-.13004 ₁₀ 2	-.1724 ₁₀ 2	-.15655 ₁₀ 2	-.30173 ₁₀ 1
.07602 ₁₀ 2	.44826 ₁₀ 1	-.01493 ₁₀ 2	-.16247 ₁₀ 2
-.21836 ₁₀ 2	-.12473 ₁₀ 2	-.09093 ₁₀ 2	-.59818 ₁₀ 1

П р и м е ч а н и е: С целью проверки алгоритма программы (приложение 2) и сопоставления результатов обработки с программой (приложение 1) массивы U1 и U2 взяты одинаковыми.

**ПРОГРАММА ОПРЕДЕЛЕНИЯ ПАРАМЕТРОВ И КООРДИНАТ
ОСИ РЕАЛЬНОЙ ЦИЛИНДРИЧЕСКОЙ ПОВЕРХНОСТИ**

```

""5.1.PP=ARCSIN(1)×2; L=2×PP/N; Г= Σ(J=1, M, J); I= Σ(J=1, M,
J×J); Φ=M×И—Г×Г; "ДЛ"=I"Ш"1"ДО"Н"ВЫП"(C[I]=COS(I×L); H[I]=
=SIN(I×L)); LLX=2×MV×(И×Σ(J=1, M, Σ(I=1, N, U[J, I]×C[I]))—Г×
×Σ(J=1, M, Σ(I=1, N, J×U[J, I]×C[I]))/(N×Φ); BBX=2×MV×(M×Σ
(J=1, M, Σ(I=1, N, J×U[J, I]×C[I]))—Г×Σ(J=1, M, Σ(I=1, N, U[J, I]×C
[I]))/(M×N×Φ); LLY=2×MV×(И×Σ(J=1, M, Σ(I=1, N, U[J, I]×H[I]))—
—Г×Σ(J=1, M, Σ(I=1, N, J×U[J, I]×H[I]))/(N×Φ); BBY=2×MV×(M×
×Σ(J=1, M, Σ(I=1, N, J×U[J, I]×H[I]))—Г×Σ(J=1, M, Σ(I=1, N, U[J,
I]×H[I]))/(M×N×Φ); "ДЛ"=I"Ш"1"ДО"М"ВЫП"(X[J]=LLX+BBX×J×
×MZ; Y[J]=LLY+BBY×J×MZ); "ВЫВ""ЗН"[LLX=], LLX,"ПР"2,[BBX=], BBX,
"ПР"2, [LLY=], LLY,"ПР"2,[BBY=], BBY; "ВЫВ""МАСС"X; "ВЫВ""МАСС"Y"
"ГДЕ"MZ=10000; MV=10; M=7; N=12; U[7, 12]=12.8, 12.5, 10.4, 8.6, 9, 11, 11,
8.1, 7.2, 8.7, 11, 11.7, 14, 12.4, 9.4, 7.1, 7, 8.2, 8.1, 7.4, 7.7, 10.1, 12.2, 13.8, 13.9, 11.3,
8.6, 6.2, 6, 7, 7.2, 7, 8, 10, 12.8, 14.3, 13.8, 11.3, 8.9, 6.9, 6.2, 6.2, 6.3, 6.8, 8, 10.1, 13, 14.2,
13.8, 11, 8.1, 6.3, 5.2, 4.8, 4.7, 5.5, 7.1, 10, 12.9, 14.4, 12.1, 10, 8, 7, 6.7, 6.1, 6,
6.2, 7.1, 9.8, 11.8, 13, 11.9, 10, 8, 7, 6.3, 5.2, 5, 5, 6.6, 9.8, 11.9, 13; C[12]; H[12];
X[7]; Y[7]"КО"

```

$$\text{LLX} = 2.09268_{10}1 \quad \text{BBX} = 3.32908_{10}-4 \quad \text{LLY} = .78095_{10}1 \quad \text{BBY} = -.55892_{10}-4$$

X[7]

.24255 ₁₀ 2	.27584 ₁₀ 2	.30913 ₁₀ 2	.34242 ₁₀ 2
.37571 ₁₀ 2	.409 ₁₀ 2	.44229 ₁₀ 2	

Y[7]

.72506 ₁₀ 1	.66917 ₁₀ 1	.61328 ₁₀ 1	.55739 ₁₀ 1
.50149 ₁₀ 1	.4456 ₁₀ 1	.38971 ₁₀ 1	

ПРОГРАММА ОПРЕДЕЛЕНИЯ ПАРАМЕТРОВ ИЗОГНУТОСТИ

""5.1.PP=ARCSIN(1)×2; L=2×PP/N; Г=Σ(J=1, M, J); И=Σ(J=1, M, J×J); Φ=M×И-Г×Г; "ДЛ"=I"Ш"1"ДО"Н"ВЫП"(C[I]=COS(I×L); H[I]=SIN(I×L)); LLX=2×MV×(И×Σ(J=1, M, Σ(I=1, N, U[J, I]×C[I])))-Г×Σ(J=1, M, Σ(I=1, N, J×U[J, I]×C[I]))/(N×Φ); BBX=2×MV×(M×Σ(J=1, M, Σ(I=1, N, J×U[J, I]×C[I])))-Г×Σ(J=1, M, Σ(I=1, N, U[J, I]×C[I]))/(M×N×Φ); LLY=2×MV×(И×Σ(J=1, M, Σ(I=1, N, U[J, I]×H[I])))-Г×Σ(J=1, M, Σ(I=1, N, J×U[J, I]×H[I]))/(N×Φ); BBY=2×MV×(M×Σ(J=1, M, Σ(I=1, N, J×U[J, I]×H[I])))-Г×Σ(J=1, M, Σ(I=1, N, U[J, I]×H[I]))/(M×N×Φ); Б1=0; "ДЛ"=J"Ш"1"ДО"М"ВЫП"(A=2×MV×Σ(I=1, N, U[J, I]×C[I]/N))-LLX-BBX×J×MZ; B=2MV×Σ(I=1, N, U[J, I]×H[I]/N))-LLY-BBY×J×MZ; S[J]=V(A×A+B×B); "Е"В=0"TO" ("Е"А>0"TO"("F=0)"ИН"(F=PP))"ИН"("Е"В>0"TO"("Е"А=0"TO"(F=PP/2))"ИН"("Е"А>0"TO" (F=ARCTG(B/A))"ИН" (F=PP+ARCTG(B/A)))"ИН"("Е"А=0"TO" (F=3/2×PP))"ИН"("Е"А>0"TO"(F=2×PP+ARCTG(B/A))"ИН"(F=PP+ARCTG(B/A))); GG[J]=F×180/PP; "Е"SJ[J]>Б1"TO"(Б1=S[J]; Й=J; Ц=GG[J]); ИА=Σ(J=1, M, S[J])/M; ИQ=√Σ(J=1, M, S[J+2]/M); "ВЫВ""ЗН" [ИЗОГНУТОСТЬ], "ПР"2, [И.МАХ1=], Б1×2, "ПР"2, [J=], Й, "ПР"2, [GG=], Ц, "СТР", "ПР"13, [И.А=], ИА, "ПР"2,[И.Q=], ИQ; "ВЫВ" "МАСС" S; "ВЫВ" "МАСС" GG"ГДЕ" MZ=10000; MV=10; M=7; N=12; U[7, 12]=12.8, 12.5, 10.4, 8.6, 9, 11, 11, 8.1, 7.2, 8.7, 11, 11.7, 14, 12.4, 9.4, 7.1, 7, 8.2, 8.1, 7.4, 7.7, 10.1, 12.2, 13.8, 13.9, 11.3, 8.6, 6.2, 6, 7, 7.2, 7, 8, 10, 12.8, 14.3, 13.8, 11.3, 8.9, 6.9, 6.2, 6.2, 6.3, 6.8, 8, 10.1, 13, 14.2, 13.8, 11, 8.1, 6.3, 5.2, 4.8, 4.7, 5.5, 7.1, 10, 12.9, 14.4, 12.1, 10, 8, 7, 6.7, 6.1, 6, 6.2, 7.1, 9.8, 11.8, 13, 11.9, 10, 8, 7, 6.3, 5.2, 5, 5.6, 9.8, 11.9, 13; C[12]; H[12]; S[7]; GG[7]"КО"

ИЗОГНУТОСТЬ И.МАХ1=.2893₁₀2 J=1 GG=1.63458₁₀2
 И.А=.847₁₀1 И.Q=.89802₁₀1

S[7]

.14465 ₁₀ 2	.44339 ₁₀ 1	.87195 ₁₀ 1	.63427 ₁₀ 1
.10334 ₁₀ 2	.77792 ₁₀ 1	.72187 ₁₀ 1	

GG[7]

1.63458 ₁₀ 2	.35480 ₁₀ 3	.32889 ₁₀ 3	.34519 ₁₀ 3
2.24657	1.85134 ₁₀ 2	1.58181 ₁₀ 2	

ПРОГРАММА ОПРЕДЕЛЕНИЯ ПАРАМЕТРОВ КОНУСНОСТИ

""5.1.PP=ARCSIN(1)×2; L=2×PP/N; Г=Σ(J=1, M, J); И=Σ(J=1, M, J×J); Φ=M×И-Г×Г; "ДЛ"І=І"Ш"І"ДО"Н"ВЫП"(C[I]=COS(I×L); H[I]=SIN(I×L)); Δ=0; Л=0; Π=0; Я=0; "ДЛ"J=J"Ш"J"ДО"М"ВЫП"(A=Σ(I=1, N, U[J, I]×C[I])/N×2; B=Σ(I=1, N, U[J, I]×H[I])/N×2; Δ=Δ+Δ; Л=Л+A×J; Π=Π+B; Я=Я+B×J); R=Σ(J=1, M, Σ(I=1, N, U[J, I]))/(N×M); "ДЛ"J=J"Ш"J"ДО"М"ВЫП"(F=І-J×Г; T=Г-J×M; "ДЛ"І=І"Ш"І"ДО"Н"ВЫП"U[J, I]=U[J, I]-((Δ×F-І×T)×C[I]×(І×F-Я×T)×H[I])/(F-R); S=Σ(J=1, M, Σ(I=1, N, U[J, I]×MV×(J-(M+1)/2)))/(MZ×N×Σ(J=1, M, (J-(M+1)/2)+2)); LL=ARCTG(S); "ВЫВ""ЗН"[КОНУСНОСТЬ], "ПР"2, [LL=], LL×180×3600/PP, "ПР"2, [PR=], S×(M-1)×MZ, "ПР"2, [DR=], R×MV"ГДЕ"MZ=10000; MV=10; M=7; N=12; U[7, 12]=12.8, 12.5, 10.4, 8.6, 9, 11, 11, 8.1, 7.2, 8.7, 11, 11.7, 14, 12.4, 9.4, 7.1, 7, 8.2, 8.1, 7.4, 7.7, 10.1, 12.2, 13.8, 13.9, 11.3, 8.6, 6.2, 6, 7, 7.2, 7, 8, 10, 12.8, 14.3, 13.8, 11.3, 8.9, 6.9, 6.2, 6.2, 6.3, 6.8, 8, 10.1, 13, 14.2, 13.8, 11, 8.1, 6.3, 5.2, 4.8, 4.7, 5.5, 7.1, 10, 12.9, 14.4, 12.1, 10, 8, 7, 6.7, 6.1, 6, 6.2, 7.1, 9.8, 11.8, 13, 11.9, 10, 8, 7, 6.3, 5.2, 5, 5, 6.6, 9.8, 11.9, 13; C[12]; H[12]"КО"

КОНУСНОСТЬ LL=-.63016₁₀2 PR=-.1833₁₀2 DR=.9175₁₀2

ПРОГРАММА ОПРЕДЕЛЕНИЯ ПАРАМЕТРОВ ОТКЛОНЕНИЙ ОТ КРУГЛОСТИ

```

""5.1.L=ARCSIN(1)×4/N;    "ДЛ"І=І"Ш"1"ДО"Н"ВЫП"(С[І]=COS(І×L);
H[І]=SIN(І×L)); C=0; Z=0; G=0; Q=0; T=0; F=0; "ДЛ"J=1"Ш"1"ДО"
"М"ВЫП"(Б=0; IO=0; R=Σ(І=1, N, U[І, І])/N); A=Σ(І=1, N, U[І, І]×C
[І])/N×2; B=Σ(І=1, N, U[І, І]×H[І])/N×2; "ДЛ"І=І"Ш"1"ДО"Н"ВЫП"(U[І,
І])=MV×(U[І, І]—A×C[І]—B×H[І])—R; "Е"U[І, І]>Б"ТО"(Б=U[І, І]; "НА"
2); "Е"U[І, І]<Ю"ТО"(Ю=U[І, І]); 2); D=Б—IO; CA=Σ(І=1, N, ABS(U[І,
І]))/N; CK=γ(Σ(І=1, N, U[І, І]↑2)/N); "Е"Д>С"ТО"(С=D; W=J); "Е"
CA>G"ТО"(G=CA; V=J); "Е"CK>Q"ТО"(Q=CK; S=J); T=T+D, F=F+CA;
Z=Z+CK); "ВЫВ""ЗН"[НЕКРУГЛОСТЬ], "ПР"2, [HKMAX.MAX=], С, "ПР"
2, [J=], W, "ПР"2, [HKMAX.C=], T/M, "СТР", "ПР"13, [HK.A.MAX=], G, "ПР"
2, [J=], V, "ПР"2, [HK.A.C=], F/M, "СТР", "ПР"13, [HKQ.MAX=], Q, "ПР"2, [J=],
S, "ПР"2, [HKQ.C=], Z/M"ГДЕ"MV=10; M=7; N=12; U[7, 12]=12.8, 12.5,
10.4, 8.6, 9, 11, 11, 8.1, 7.2, 8.7, 11, 11.7, 14, 12.4, 9.4, 7.1, 7, 8.2, 8.1, 7.4, 7.7,
10.1, 12.2, 13.8, 13.9, 11.3, 8.6, 6.2, 6, 7, 7.2, 7, 8, 10, 12.8, 14.3, 13.8, 11.3, 8.9,
6.9, 6.2, 6.2, 6.3, 6.8, 8, 10.1, 13, 14.2, 13.8, 11, 8.1, 6.3, 5.2, 4.8, 4.7, 5.5, 7.1,
10, 12.9, 14.4, 12.1, 10, 8, 7, 6.7, 6.1, 6, 6.2, 7.1, 9.8, 11.8, 13, 11.9, 10, 8, 7, 6.3,
5.2, 5, 5, 6.6, 9.8, 11.9, 13; C[12]; H[12]"КО"

```

НЕКРУГЛОСТЬ HKMAX.MAX=.04334₁₀3 J=1 HKMAX.C=.26471₁₀2

HK.A.MAX=1.19425₁₀1 J=1 HK.A.C=.78457₁₀1

HKQ.MAX=.13432₁₀2 J=1 HKQ.C=.88562₁₀1

**ПРОГРАММА ОПРЕДЕЛЕНИЯ ПАРАМЕТРОВ ОТКЛОНЕНИЙ ОТ
ПРЯМОЛИНЕЙНОСТИ**

```

""5.1. Г=Σ(J=1, M, J); И= Σ (J=1, M, J×J); Φ=M×И—Г×Г; С=0; G=0;
Q=0; T=0; F=0; Z=0; "ДЛ" I=1"Ш"1"ДО"Н"ВЫП"(Б=0; Ю=0; А=Σ (J=1, M,
U[J, I]); B=Σ (J=1, M, U[J, I]×J); "ДЛ" J=1"Ш"1"ДО"М"ВЫП"(U[J, I] =
=MV×(U[J, I]—(И×A—Г×B+M×J×B—J×G×A)/Φ); "Е"U[J, I]>Б"ТО"
(Б=U[J, I]; "НА"Q); "Е"U[J, I]<Ю"ТО"(Ю=U[J, I]); Q); Д=Б--Ю; С.Δ:= Σ
(J=1, M, ABS(U[J, I]))/M; СК=√(Σ (J=1, M, U[J, I]↑ 2)/M); "Е"Д>С"ТО"
(C=Д; W=I); "Е"CA>G"TO"(G=CA; V=1); "Е"СК>Q"TO"(Q=СК; S=I);
T=T+Д; F=F+CA; Z=Z+СК); "ВЫВ""ЗН"[НЕПРЯМОЛИНЕЙНОСТЬ],
"ПР"2, [НПИМАХ.МАХ=], С, "ПР"2, [I=], W, "ПР"2, [НПИМАХ.С=], T/N,
"СТР", "ПР"19, [НПА.МАХ=], G, "ПР"2, [I=], V, "ПР"2, [НПА.С=], F/N,
"СТР", "ПР"19, [НПQ.МАХ=], Q, "ПР"2, [I=], S, "ПР"2, [НПQ.С=], Z/N
"ГДЕ"MV=10; M=7; N=12; U[7, 12]=12.8, 12.5, 10.4, 8.6, 9, 11, 11, 8.1, 7.2,
8.7, 11, 11.7, 14, 12.4, 9.4, 7.1, 7, 8.2, 8.1, 7.4, 7.7, 10.1, 12.2, 13.8, 13.9, 11.3,
8.6, 6.2, 6, 7, 7.2, 7, 8, 10, 12.8, 14.3, 13.8, 11.3, 8.9, 6.9, 6.2, 6.2, 6.3, 6.8, 8, 10.1,
13, 14.2, 13.8, 11, 8.1, 6.3, 5.2, 4.8, 4.7, 5.5, 7.1, 10, 12.9, 14.4, 12.1, 10, 8, 7, 6.7,
6.1, 6, 6.2, 7.1, 9.8, 11.8, 13, 11.9, -10, 8, 7, 6.3, 5.2, 5, 5, 6.6, 9.8, 11.9, 13"КО"

```

НЕПРЯМОЛИНЕЙНОСТЬ НПИМАХ.МАХ=.028₁₀3 I=6 НПИМАХ.С=1.801₁₀1
 НПА.МАХ=.91842₁₀1 I=6 НПА.С=5.5565
 НПQ.МАХ=.97886₁₀1 I=6 НПQ.С=6.16091

**МЕТОДИКА
аттестации мер цилиндричности
МИ 145—77**

Редактор *С. Я. Рыско*
Технический редактор *В. Ю. Смирнова*
Корректор *Н. Л. Шнайдер*

Сдано в набор 10.04.78 Подп. в печ. 04.07.78 Т—12930 Формат 60×90¹/₁₆ Бумага типографская № 2 Гарнитура литературная Печать высокая 1,5 усл. печ. л. 1,48 уч.-изд. л. Тир. 3000 Зак. 1068 Изд. № 5496/42

Ордена «Знак Почета» Издательство стандартов. Москва, Д-557, Новопресненский пер., 3
Калужская типография стандартов, ул. Московская, 256.